

Об одном варианте уточненной теории изгиба трансверсально-изотропных плит

Построено решение задач изгиба трансверсально-изотропных плит, которое приводится к системе дифференциальных уравнений шестого порядка. Предложены соотношения, позволяющие ставить граничные задачи с произвольным заданием внешних усилий по толщине плиты, что существенно расширяет круг предлагаемых к решению задач.

В работе [1] в качестве классической теории изгиба изотропных плит предлагается признать теорию, приводящую к дифференциальным уравнениям шестого порядка. В виде одного из вариантов в этой работе выводится система уравнений, имеющая шестой порядок, и формулируются соответствующие краевые задачи. Предположения, на основе которых строится эта теория, основаны на сравнении выражений для поперечных усилий, полученных в результате интегрирования напряжений τ_{xz} и τ_{yz} , заданных различными соотношениями.

В настоящей работе на основе указанных предположений получена система дифференциальных уравнений теории изгиба трансверсально-изотропных плит, позволяющая удовлетворить всем трем граничным условиям на боковой поверхности, имеющим место в теории изгиба плит. Строится решение бигармонического и метагармонического уравнений уточненной теории изгиба трансверсально-изотропных плит. Решение выражено через произвольные функции обобщенных комплексных переменных [2, 3]. Проведены численные исследования для бесконечной плиты, ослабленной эллиптической полостью.

Основные соотношения уточненной теории изгиба трансверсально-изотропных плит. Приведем представления для перемещений и напряжений, а также систему дифференциальных уравнений теории изгиба плит, построенную по методике, предложенной в работе [1]. Рассмотрим трансверсально-изотропную плиту, имеющую толщину $2h$ и отнесенную к декартовой системе координат $Oxyz$. Оси Ox и Oy расположены к срединной плоскости плиты, а ось Oz — нормальна к этой плоскости. Представление для перемещений выбираются в виде

$$\begin{aligned} u_1 &= p_1[\partial_1\varphi(x, y) + \partial_2\psi(x, y)], \\ u_2 &= p_1[\partial_2\varphi(x, y) - \partial_1\psi(x, y)], \\ u_3 &= w_0(x, y) + p_2w(x, y). \end{aligned} \tag{1}$$

Здесь введены нечетная по переменной z функция $p_1(z)$, характеризующая распределение усилий по толщине плиты, ее производная и интегралы

$$p_0 = \frac{dp_1}{dz}, \quad p_2 = \int p_1(z) dz, \quad p_3 = \int p_2(z) dz.$$

Функции φ и ψ представляют собой соответственно потенциальную и вихревую части поля перемещений, а w_0 и w характеризуют прогиб плиты.

Для построения уточненной теории изгиба трансформных плит используются уравнения обобщенного закона Гука

$$\begin{aligned} \sigma_i &= A_{i1}\varepsilon_1 + A_{i2}\varepsilon_2 + A_{i3}\varepsilon_3 \quad (i = 1, 2, 3), \\ \sigma_4 &= A_{44}\varepsilon_4, \quad \sigma_5 = A_{55}\varepsilon_5, \quad \sigma_6 = A_{66}\varepsilon_6; \end{aligned} \quad (2)$$

геометрические соотношения

$$\begin{aligned} \varepsilon_i &= \partial_i u_i \quad (i = 1, 2, 3), \\ \varepsilon_4 &= \partial_3 u_2 + \partial_2 u_3, \quad \varepsilon_5 = \partial_3 u_1 + \partial_1 u_3, \quad \varepsilon_6 = \partial_1 u_2 + \partial_2 u_1; \end{aligned} \quad (3)$$

трехмерные уравнения равновесия без учета объемных сил

$$\partial_1 \sigma_1 + \partial_2 \sigma_6 + \partial_3 \sigma_5 = 0, \quad \partial_1 \sigma_6 + \partial_2 \sigma_2 + \partial_3 \sigma_4 = 0, \quad \partial_1 \sigma_5 + \partial_2 \sigma_4 + \partial_3 \sigma_3 = 0. \quad (4)$$

В представлениях (2)–(4) введены обозначения

$$\begin{aligned} [\sigma_1, \sigma_2, \sigma_3, \sigma_4, \sigma_5, \sigma_6] & \quad \text{для} \quad [\sigma_x, \sigma_y, \sigma_z, \tau_{yz}, \tau_{xz}, \tau_{xy}], \\ [\varepsilon_1, \varepsilon_2, \varepsilon_3, \varepsilon_4, \varepsilon_5, \varepsilon_6] & \quad \text{для} \quad [\varepsilon_x, \varepsilon_y, \varepsilon_z, \gamma_{yz}, \gamma_{xz}, \gamma_{xy}], \\ \partial_1 &= \frac{\partial}{\partial x}, \quad \partial_2 = \frac{\partial}{\partial y}, \quad \partial_3 = \frac{\partial}{\partial z}, \quad A_{ij} \text{ — модули упругости.} \end{aligned}$$

Уравнения закона Гука (2) с учетом представлений (1) и (3) дают выражения для напряжений в форме

$$\begin{aligned} \sigma_i &= p_1 s_i \quad (i = 1, 2, 3, 6), \quad \sigma_4 = A_{44}[\partial_2 w_0 + p_2 \partial_2 w + p_0(\partial_2 \varphi - \partial_1 \psi)], \\ \sigma_5 &= A_{55}[\partial_1 w_0 + p_2 \partial_1 w + p_0(\partial_1 \varphi + \partial_2 \psi)], \end{aligned} \quad (5)$$

где

$$\begin{aligned} s_i &= (A_{i1}\partial_1^2 + A_{i2}\partial_2^2)\varphi + (A_{i1} - A_{i2})\partial_1 \partial_2 \psi + A_{i3}w \quad (i = \overline{1, 3}), \\ s_6 &= A_{66}[2\partial_1 \partial_2 \varphi + (\partial_2^2 - \partial_1^2)\psi]. \end{aligned} \quad (6)$$

Выражения для напряжений σ_5 , σ_4 и σ_3 можно также найти, удовлетворяя уравнениям равновесия (4)

$$\sigma_5 = [p_2(h) - p_2(z)]S_5, \quad \sigma_4 = [p_2(h) - p_2(z)]S_4, \quad \sigma_3 = [p_3(z) - p_2(h)z]S_3. \quad (7)$$

Здесь введены обозначения, которые с учетом соотношений (5) принимают вид

$$S_5 = \partial_1 s_1 + \partial_2 s_6, \quad S_4 = \partial_1 s_6 + \partial_2 s_2, \quad S_3 = \partial_1 S_5 + \partial_2 S_4. \quad (8)$$

Представления (7) входят в противоречие с соотношениями (5). Корректный результат можно получить для поперечных усилий.

Для построения дифференциальных уравнений, описывающих изгиб плит, полагаем:

- 1) как и в теории Кирхгофа, поперечное нормальное напряжение σ_3 равно нулю;
- 2) как и в работе [1], считаем равными поперечные усилия, полученные интегрированием напряжений σ_4 и σ_5 , заданных соотношениями (5) и (7).

Реализация указанных предположений приводит к уравнениям, которые для трансропного тела принимают вид

$$s_3 = A_{13}\Delta\varphi + A_{33}w = 0, \quad \Delta = \partial_1^2 + \partial_2^2; \quad (9)$$

$$S_3 = A_{11}\Delta\Delta\varphi + A_{13}\Delta w = 0; \quad (10)$$

$$Q_5 = \int_{-h}^h \sigma_5 dz = A_{55}[2h\partial_1 w_0 + I_0(\partial_1\varphi + \partial_2\psi) + I_1\partial_1 w] = I_2 S_5, \quad (11)$$

$$Q_4 = \int_{-h}^h \sigma_4 dz = A_{55}[2h\partial_2 w_0 + I_0(\partial_2\varphi - \partial_1\psi) + I_1\partial_2 w] = I_2 S_4.$$

Здесь введены обозначения: $I_0 = \int_{-h}^h p_0 dz$, $I_1 = \int_{-h}^h p_2 dz$, $I_2 = 2hp_2(h) - I_1$.

Уравнения (9)–(11) для определения функций φ , ψ , w_0 и w приводятся к виду

$$\Delta\Delta\varphi = 0, \quad \Delta\psi - k^2\psi = 0; \quad (12)$$

$$w = -\alpha_{13}\Delta\varphi, \quad w_0 = -k_0\varphi + \alpha_1\Delta\varphi, \quad (13)$$

где принято

$$k^2 = \frac{k_0 A_{55}}{k_2 A_{66}}, \quad k_0 = \frac{I_0}{2h}, \quad k_2 = \frac{I_2}{2h}, \quad \alpha_1 = \frac{k_2 B_{11}}{A_{55}} + k_1 \alpha_{13},$$

$$k_1 = \frac{I_1}{2h}, \quad \alpha_{13} = \frac{A_{13}}{A_{33}}, \quad B_{ik} = A_{ik} - A_{i3} \frac{A_{3k}}{A_{33}} \quad (i, k = \overline{1, 3}).$$

Таким образом, получены дифференциальные уравнения изгиба трансропных плит (12) относительно функций φ и ψ , а также соотношения (13) для вычисления функций w и w_0 . Уравнения в совокупности имеют шестой порядок, что позволяет удовлетворить всем трем граничным условиям на боковой поверхности, имеющим место в теории изгиба плит.

Решение дифференциальных уравнений (12). Для построения решения дифференциальных уравнений воспользуемся функциями обобщенных комплексных переменных.

Бигармоническое уравнение. Введем в операторы $\Delta = \partial_1^2 + \partial_2^2$ дополнительные слагаемые так, чтобы они приняли вид $\Delta_1 = (1 + \varepsilon)^2 \partial_1^2 + \partial_2^2$, $\Delta_2 = (1 - \varepsilon)^2 \partial_1^2 + \partial_2^2$, где ε — малый параметр [3]. Тогда бигармонический оператор $\Delta\Delta$ превращается в обобщенный бигармонический $\Delta_1\Delta_2$. Корни характеристического уравнения теперь не являются кратными и имеют вид $\mu_1 = (1 + \varepsilon)i$, $\mu_2 = (1 - \varepsilon)i$, $\bar{\mu}_1 = -(1 + \varepsilon)i$, $\bar{\mu}_2 = -(1 - \varepsilon)i$.

Общее действительное решение первого уравнения (12) через произвольные функции обобщенных комплексных переменных, согласно [2], можно представить в виде

$$\varphi = 2\text{Re}[\varphi_1(z_1) + \varphi_2(z_2)], \quad z_j = x + \mu_j y. \quad (14)$$

Уравнение Гельмгольца. Рассмотрим способ решения второго уравнения (12) для усложненного оператора $\Delta = \alpha^2 \partial_1^2 + \partial_2^2$, где α — вещественное число. Введем обобщенную

комплексную переменную $z = x + \mu y$ и сопряженную ей величину $\bar{z} = x + \bar{\mu}y$. В этих переменных второе уравнение системы (12) примет вид

$$\left[\frac{\partial^2}{\partial z \partial \bar{z}} - q^2 \right] \psi(x, y) = 0, \quad q^2 = \frac{k^2}{4\alpha^2}. \quad (15)$$

Функцию $\psi(x, y)$ представим в виде произведения функций различных аргументов

$$\psi = \varphi(t)\eta(s), \quad t = 2qr, \quad r = (z\bar{z})^{1/2}, \quad s = \left(\frac{z}{\bar{z}} \right)^{1/2}. \quad (16)$$

Подставим представление (16) в уравнение (15). Разделяя функции, получим следующие обыкновенные дифференциальные уравнения для определения функций $\varphi(t)$ и $\eta(s)$:

$$t^2\varphi'' + t\varphi' - t^2\varphi = \alpha\varphi, \quad \eta''s^2 + \eta's - \alpha\eta = 0. \quad (17)$$

Решение уравнений (17) при целых значениях разделительного параметра $\alpha = n^2$ ($n = 0, \pm 1, \pm 2, \dots$) дает возможность представить функцию (16) в виде суммы произведений

$$\psi(x, y) = 2\text{Re} \sum_{n=0}^{\infty} [E_n I_n(t) + F_n K_n(t)] s^n, \quad (18)$$

где $I_n(t)$, $K_n(t)$ — модифицированные функции Бесселя [4]; E_n и F_n — произвольные постоянные.

Представления для функций φ и ψ , данные решениями (14) и (18), позволяют удовлетворить всем граничным условиям на боковой поверхности плиты.

Граничные условия на боковой поверхности. Рассмотрим напряженно-деформированное состояние плиты, ослабленной криволинейной полостью, боковая поверхность которой представляет собой цилиндр с образующими, нормальными плоским граням. Граничные условия для криволинейного края с нормалью \vec{n} определяются способом закрепления и нагружения поверхности. Пусть $P(x, y, z)$ — нормальная, а $T(x, y, z)$ и $N(x, y, z)$ — касательные составляющие внешних сил, приложенных к боковой поверхности полости. Если $P = T = N = 0$, то край считается свободным от усилий. На внешней боковой поверхности также могут быть заданы усилия интенсивностью $\sigma_1^0 = pz$, $\sigma_2^0 = qz$ и $\sigma_6^0 = tz$. Полагаем, что внешний контур находится вдали от полости и их взаимным влиянием можно пренебречь. Тогда граничные условия на боковой поверхности полости примут вид

$$\begin{aligned} n_1\sigma_1 + n_2\sigma_6 &= n_1(P - pz) - n_2(T + tz), \\ n_1\sigma_6 + n_2\sigma_2 &= n_1(T - tz) + n_2(P - qz), \\ n_1\sigma_5 + n_2\sigma_4 &= N, \quad n_1 = \cos(n, x), \quad n_2 = \cos(n, y). \end{aligned} \quad (19)$$

Рассмотрим случай, когда внешние усилия представлены в форме

$$P = p_1(z)P_1(x, y), \quad T = p_1(z)T_1(x, y), \quad N = [p_2(h) - p_2(z)]N_1(x, y). \quad (20)$$

Тогда, в соответствии с представлениями (5), (7) и (20), условия (19) запишутся так:

$$\begin{aligned} n_1s_1 + n_2s_6 &= n_1(P_1 - p) - n_2(T_1 + t), \\ n_1s_6 + n_2s_2 &= n_1(T_1 - t) + n_2(P_1 - q), \quad n_1S_5 + n_2S_4 = N_1. \end{aligned} \quad (21)$$

Отметим, что при усилиях p , q и t функция $p_1(z) = z$.

Численные исследования. Эллиптический контур. Плита ослаблена полостью в виде цилиндра эллиптического сечения с образующими, нормальными плоским граням. В сечении срединной плоскостью Oxy имеем область Ω в виде плоскости с эллиптическим вырезом. Главные оси эллипса направлены по осям Ox и Oy . В этом случае уравнение эллиптического контура в параметрической форме можно записать таким образом:

$$x = a \cos(\theta) = \frac{a}{2} \left(\sigma + \frac{1}{\sigma} \right), \quad y = b \sin(\theta) = -\frac{bi}{2} \left(\sigma - \frac{1}{\sigma} \right). \quad (22)$$

Здесь $\sigma = \cos(\theta) + i \sin(\theta)$; a и b — полуоси эллипса; θ — полярный угол.

Уравнение контура (22) позволяет записать функцию, конформно отображающую внешность единичного круга на внешность эллипса в области Ω_j , определения функции $\varphi_j(z_j)$

$$z_j = x + \mu_j y = R_j \zeta_j + \frac{m_j}{\zeta_j} \quad \zeta_j = r_j \sigma \quad (r_j \geq 1). \quad (23)$$

Функции $\varphi'_j(z_j) = d\varphi_j/dz_j$, представления (14) будем искать в виде ряда

$$\varphi'_j(z_j) = \sum_{n=1}^{\infty} \frac{\alpha_{nj}}{\zeta_j^n}. \quad (24)$$

Отметим, что на граничном контуре $r_j = 1$ и имеет место равенство $\zeta_j = \sigma$.

Для получения системы линейных алгебраических уравнений относительно коэффициентов функций (18) и (24) необходимо функции, входящие в граничные условия, разложить в ряды по степеням переменной σ .

При численном исследовании напряженно-деформированного состояния плиты использованы безразмерные величины. Они получаются делением линейных величин на характерный линейный параметр. В качестве такого параметра принята величина $R = \max(a, b)$. Безразмерная координата z_* получается делением исходной координаты z на полутолщину плиты h . Тогда переменная z_* будет изменяться на отрезке $[-1, 1]$.

Деформация осуществляется изгибающими усилиями $\sigma_1^0 = z_* p$, действующими на бесконечности. Наибольший интерес представляют величины, определяющие концентрацию напряжений на контуре полости

$$S_\theta = n_2^2 s_1 - 2n_1 n_2 s_6 + n_1^2 s_2, \quad S_{z\theta} = (-n_2 S_5 + n_1 S_4) p_2(h).$$

В табл. 1 приведены результаты численных исследований для плиты с круговой $a = b$ и эллиптическими $a/b = 2/3$ и $a/b = 3/2$ полостями. Исследования проведены для различных относительных толщин плиты h и различных значений коэффициента Пуассона ν . Для каждого значения параметра ν приведены две строки данных. В верхней строке таблицы отражены максимальные, а в нижней — минимальные значения концентрации напряжений.

Анализ численных исследований и данных табл. 1 позволяет сделать следующие выводы:

- 1) наибольшая зависимость напряжений от коэффициента Пуассона наблюдается при малых толщинах плиты;
- 2) напряжения $S_{z\theta}/p$ с увеличением толщины плиты стремятся к нулю;

3) напряжения S_θ/p , возникающие при изгибе плиты с полостью, в зависимости от толщины плиты, лежат в границах между решениями задач изгиба по теории Кирхгофа и решениями соответствующих задач плоской теории упругости.

Действительно, для тонкой плиты из изотропного материала с круговым отверстием путем использования теории Кирхгофа получены соотношения [2]

$$\max \frac{S_\theta}{p} = \frac{5 + 3\nu}{3 + \nu}, \quad \min \frac{S_\theta}{p} = \frac{1 - \nu}{3 + \nu}. \quad (25)$$

В работе [5] при определении плоского напряженного состояния для пластинки с эллиптическим отверстием получены соотношения, которые для изотропного материала имеют вид

$$\max \frac{S_\theta}{p} = 1 + 2\frac{b}{a}, \quad \min \frac{S_\theta}{p} = -1. \quad (26)$$

Сравнение результатов, полученных по формулам (25) и (26) с данными табл. 1 при $h = 0,1$ и $h = 100$ соответственно, подтверждает сформулированный выше вывод 3.

Также следует отметить, что аналогичные выводы даны в работе [6], где для решения задачи изгиба плиты с круговым вырезом использована теория, учитывающая сдвиговую жесткость.

На рис. 1, 2 показано распределение напряжений по контуру эллиптического отверстия для различных значений относительной толщины плиты h . Параметры эллипса $a = 2/3$, $b = 1$, относительная толщина плиты h выбиралась равной 0,1, 1 и 10, а коэффициент $\nu = 1/3$. Сплошной линией на рисунках обозначен случай, когда $h = 10$, штриховая линия соответствует толщине $h = 1$, а пунктирная — $h = 0,1$.

На рис. 3 приведено распределение максимальных значений напряжений $\sigma_\theta = z_* S_\theta$ и $\sigma_{z\theta} = (1 - z_*^2) S_{z\theta}$ по толщине плиты для указанных выше случаев. На рисунках наглядно просматриваются закономерности распределения напряжений, описанные выше.

Таким образом, в работе предложена методика получения решений бигармонического и метагармонического уравнений уточненной теории изгиба трансверсально-изотропных

Таблица 1

h	0,1		1		10		100	
	S_θ/p	$S_{z\theta}/p$	S_θ/p	$S_{z\theta}/p$	S_θ/p	$S_{z\theta}/p$	S_θ/p	$S_{z\theta}/p$
$a = b$								
0,001	1,693	-0,574	1,906	0,538	2,734	0,240	2,992	0,030
	0,307	0,574	0,094	-0,538	-0,734	-0,240	-0,992	-0,030
1/3	1,828	0,515	2,049	0,468	2,794	0,186	2,994	0,022
	0,173	-0,515	-0,049	-0,468	-0,794	-0,186	-0,994	-0,022
0,499	1,885	0,489	2,108	0,439	2,814	0,168	2,994	0,020
	0,115	-0,489	-0,108	-0,439	-0,814	-0,168	-0,994	-0,020
$a = 2/3b$								
1/3	2,269	0,641	2,712	0,558	3,761	0,194	3,996	0,022
	0,174	-0,641	-0,052	-0,558	-0,830	-0,194	-0,998	-0,022
$a = 3/2b$								
1/3	1,550	0,427	1,701	0,372	2,220	0,129	2,330	0,015
	0,154	-0,427	-0,142	-0,372	-0,840	-0,129	-0,996	-0,015

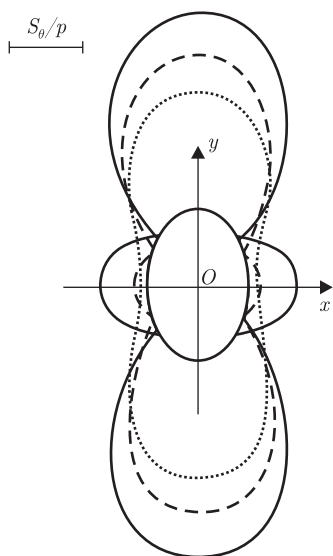


Рис. 1

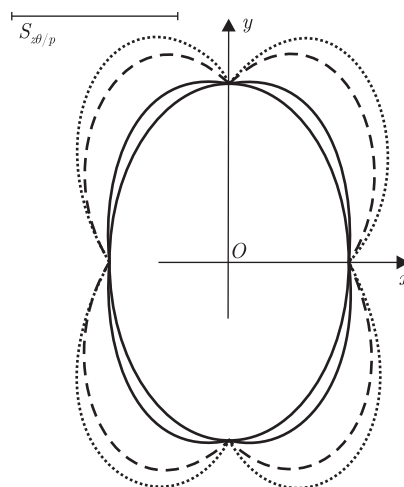


Рис. 2

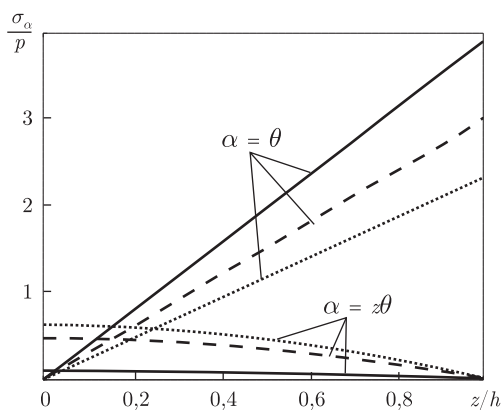


Рис. 3

пластин, учитывающей деформации поперечного сдвига. Методика основана на использовании функций обобщенных комплексных переменных. Проведены численные исследования напряженного состояния бесконечной плиты с эллиптическим отверстием. Дан анализ полученных результатов.

1. Васильев В. В. Классическая теория пластин – история и современный анализ // Изв. АН. МТТ. – 1998. – № 3. – С. 46–58.
2. Лехницкий С. Г. Анизотропные пластинки. – Москва: Гостехиздат, 1957. – 463 с.
3. Космодамианский А. С., Нескородев Н. М. Связь уравнений плоской теории упругости для анизотропного и изотропного тел // Прикл. математика и механика. – 1998. – 62, вып. 2. – С. 344–346.
4. Никифоров А. Ф., Уваров В. Б. Специальные функции математической физики. – Москва: Наука, 1978. – 320 с.
5. Космодамианский А. С. Напряженное состояние анизотропных сред с отверстиями или полостями. – Киев; Донецк: Вища шк., 1976. – 200 с.
6. Пелех Б. Л. Концентрация напряжений около отверстий при изгибе трансверсально-изотропных пластин. – Киев: Наук. думка, 1977. – 183 с.

Донецкий национальный университет

Поступило в редакцию 27.07.2012

Академік НАН України **В. П. Шевченко, Р. М. Нескородєв**

Про один варіант уточненої теорії згину трансверсально-ізотропних плит

Побудовано розв'язок задач згину трансверсально-ізотропних плит, який зводиться до системи диференціальних рівнянь шостого порядку. Запропоновано співвідношення, що дозволяють ставити граничні задачі з довільним заданням зовнішніх зусиль по товщині плити, що істотно розширює коло пропонуваних до розв'язання задач.

Academician of the NAS of Ukraine **V. P. Shevchenko, R. N. Neskorođev**

A variant of the improved theory of bending of transversely isotropic plates

The solution of the problem of a bend of transversely isotropic plates, which is reduced to a system of differential equations of the sixth order, is constructed. The relations allowing to pose boundary-value problems with any external forces through the thickness of a plate are proposed. This essentially extends a circle of problems offered to the solution.